

2.3. 土壌分析結果

ボーリングで採取されたボーリングコア試料を用いて、土壌中のジフェニルアルシン酸（DPAA）を分析した。

結果は、以下の表及び図としてまとめた。なお、値はすべてヒ素換算値とした。

参考表 2.3.1 A 井戸周辺土壌 DPAA 分析結果

参考表 2.3.2 掘削調査地点周辺土壌 DPAA 分析結果

参考表 2.3.3 AB 間、B 地区土壌 DPAA 分析結果

参考図 2.3.1 初期 AB 間土壌・地下水 DPAA 汚染状況断面図

参考図 2.3.2 初期 AB 間土壌 DPAA 汚染状況図

参考図 2.3.3 初期 A 井戸周辺～掘削調査地点周辺間土壌・地下水 DPAA 汚染状況断面図

参考図 2.3.4 初期 A 井戸周辺土壌・地下水汚染状況図

参考図 2.3.5 初期 A 井戸直近土壌・地下水 DPAA 汚染状況断面図

参考図 2.3.6 初期 A 井戸直近土壌・地下水 DPAA 汚染状況図

参考図 2.3.7 初期掘削調査地点周辺土壌・地下水 DPAA 汚染状況断面図

参考図 2.3.8 初期掘削調査地点周辺土壌・地下水 DPAA 汚染状況図

参考図 2.3.9 初期掘削調査地点土壌 DPAA 汚染状況図（0.5m ピッチスライス）

参考図 2.3.10 初期 B 地区土壌・地下水 DPAA 汚染状況断面図

参考図 2.3.11 初期 B 地区土壌・地下水 DPAA 汚染状況図

調査分析の結果、A 井戸直近の自然地層中と A 井戸から南東 90m（掘削調査地点）周辺の埋土層中からジフェニルアルシン酸（DPAA）による特異な高濃度の汚染が確認された。

(1) A 井戸周辺

A 井戸周辺の土壌のジフェニルアルシン酸（DPAA）汚染は、そのほとんどが深度 15m よりも深い箇所の自然地層中に確認される。全体に深部ほど高濃度になる傾向があり、これらの内最高の濃度が確認されるのは、A 井戸から南に約 5m にある No.159 孔の深度 25.5m の 12mg-As/kg である。

また、高濃度の土壌汚染は、A 井戸付近に集中しており、南側のグラウンド部では、非常に低濃度ものが見られる程度である（No.28 孔深度 37.5m：0.03mg-As/kg 他）。

(2) A 井戸南東 90m（掘削調査地点）周辺

A 井戸南東 90m（掘削調査地点）周辺では、埋土層である No.123 孔の深度 3.1m の土壌から 2,800mg-As/kg のジフェニルアルシン酸（DPAA）が確認されるのを最高に、主に埋土層中で高濃度の汚染が確認される。高濃度汚染土壌分布は、主にメッシュ状に配置したボーリング 123 孔より西側に約 10m の範囲で広がっており、その深度は 2.0～4.0m の間で分布している。その後実施された掘削調査の結果、この高濃度汚染土壌は、コンクリート様の塊であることが分かった。

(3) B 地区

B 地区における土壌のジフェニルアルシン酸（DPAA）汚染は、B 地区中心から西に約 15m にある No.166 孔の深度 23.5m の 0.12mg-As/kg を最高に、この No.166 孔と B 地区中心から東に約 10m の No.165 孔を除いて、土壌のジフェニルアルシン酸（DPAA）汚染は確認されなかった。検出された深度は、すべて自然地層中であった。

(4) AB 間

AB 間では、No.55 孔と No.56 孔のみで分析を実施したが、土壌のジフェニルアルシン酸（DPAA）は、No.56 孔の深度 23.5m の 0.23mg-As/kg を最高に比較的低濃度のものしか検出されなかった。すべて自然地層中であった。

以上のことより、A 井戸南東 90m（掘削調査地点）周辺の埋土層中を除いて、その他の箇所では、ほとんど自然地層中に汚染が確認されることがわかった。

参考表2.3.3 AB間,B地区土壤DPAA分析結果

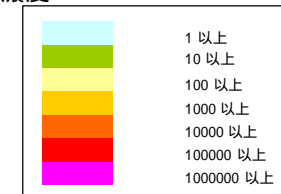
単位：μg-As/wet-kg

B地区 土壤DPAA濃度

深度	ボーリング番号								
	166	54	165	187	188	189	190	191	192
0.5 m	N.D.	N.D.	N.D.	N.D.	N.D.	N.D.	N.D.	N.D.	N.D.
1.5 m	N.D.	N.D.	N.D.	N.D.	N.D.	N.D.	N.D.	N.D.	N.D.
2.5 m	N.D.	N.D.	N.D.	N.D.	N.D.	N.D.	N.D.	N.D.	N.D.
3.5 m	N.D.	N.D.	N.D.	N.D.	N.D.	N.D.	N.D.	N.D.	N.D.
4.5 m	N.D.	N.D.	N.D.	N.D.	N.D.	N.D.	N.D.	N.D.	N.D.
5.5 m	N.D.	N.D.	N.D.	N.D.	N.D.	N.D.	N.D.	N.D.	N.D.
6.5 m	N.D.	N.D.	N.D.	N.D.	N.D.	N.D.	N.D.	N.D.	N.D.
7.5 m	N.D.	N.D.	N.D.	N.D.	N.D.	N.D.	N.D.	N.D.	N.D.
8.5 m	N.D.	N.D.	N.D.	N.D.	N.D.	N.D.	N.D.	N.D.	N.D.
9.5 m	N.D.	N.D.	N.D.	N.D.	N.D.	N.D.	N.D.	N.D.	N.D.
10.5 m	N.D.	N.D.	N.D.	N.D.	N.D.	N.D.	N.D.	N.D.	N.D.
11.5 m	N.D.	N.D.	N.D.	N.D.	N.D.	N.D.	N.D.	N.D.	N.D.
12.5 m	N.D.	N.D.	N.D.	N.D.	N.D.	N.D.	N.D.	N.D.	N.D.
13.5 m	N.D.	N.D.	N.D.	N.D.	N.D.	N.D.	N.D.	N.D.	N.D.
14.5 m	N.D.	N.D.	N.D.	N.D.	N.D.	N.D.	N.D.	N.D.	N.D.
15.5 m	N.D.	N.D.	N.D.					N.D.	
16.5 m	2	N.D.	N.D.					N.D.	
17.5 m	1	N.D.	N.D.						
18.5 m	91	N.D.	N.D.						
19.5 m	3	N.D.	2						
20.5 m	32	N.D.	N.D.						
21.5 m	2	N.D.	16						
22.5 m	26	N.D.	70						
23.5 m	120	N.D.	N.D.						
24.5 m	3	N.D.	1						
25.5 m	27	N.D.	51						
26.5 m	11	N.D.	41						
27.5 m	4	N.D.	N.D.						
28.5 m	66	N.D.	43						
29.5 m	6	N.D.	6						
30.3 m	7	N.D.							
30.5 m		N.D.	2						
31.3 m	N.D.	N.D.							
31.5 m		N.D.	5						
31.8 m	4	N.D.							
32.3 m		N.D.	13						
32.5 m		N.D.							

AB中間地区 土壤中DPAA濃度

深度	ボーリング番号	
	55	56
0.5 m	N.D.	N.D.
1.5 m	N.D.	N.D.
2.5 m	N.D.	N.D.
3.5 m	N.D.	N.D.
4.5 m	N.D.	N.D.
5.5 m	N.D.	N.D.
6.5 m	N.D.	N.D.
7.5 m	N.D.	N.D.
8.5 m	N.D.	N.D.
9.5 m	N.D.	N.D.
10.5 m	N.D.	N.D.
11.5 m	N.D.	N.D.
12.5 m	N.D.	N.D.
13.5 m	N.D.	N.D.
14.5 m	N.D.	N.D.
15.5 m	N.D.	N.D.
16.5 m	N.D.	N.D.
17.5 m	N.D.	N.D.
18.5 m	N.D.	N.D.
19.5 m	N.D.	110
20.5 m	N.D.	140
21.5 m	N.D.	120
22.5 m	N.D.	83
23.5 m	N.D.	120
24.5 m	N.D.	110
25.5 m	N.D.	72
26.5 m	2	220
27.5 m	20	230
28.5 m	13	110
29.5 m	10	20
30.5 m	10	46
31.8 m	1	
32.8 m	9	
33.7 m	2	
34.7 m	9	
35.7 m	12	
36.7 m	N.D.	
37.3 m	4	
41.6 m	N.D.	



太線は埋土層と自然地盤の境界を示す。
太線より上部は埋土層。

参考図2.3.1 初期AB間土壌・DPAA地下水汚染状況断面図

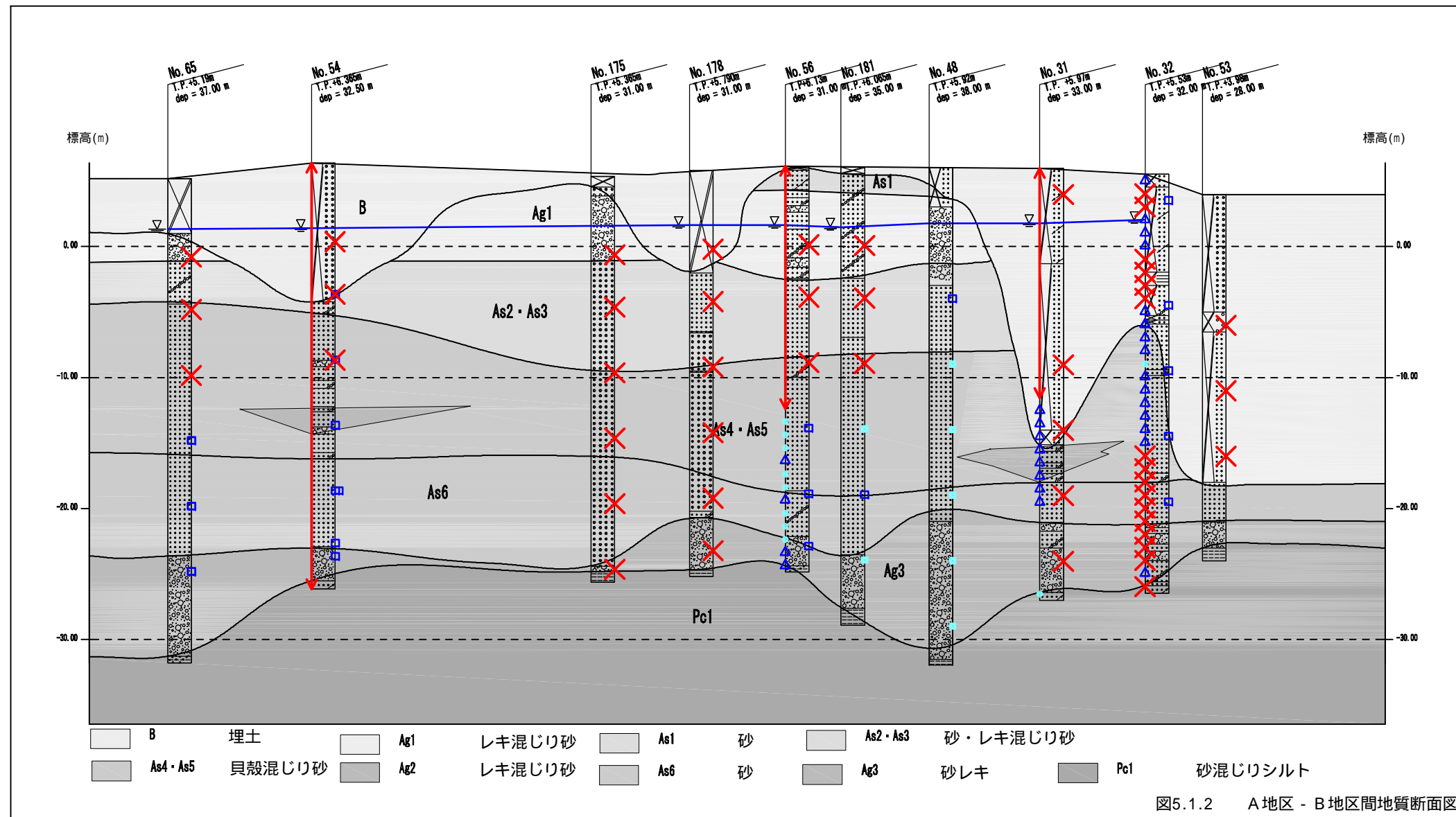
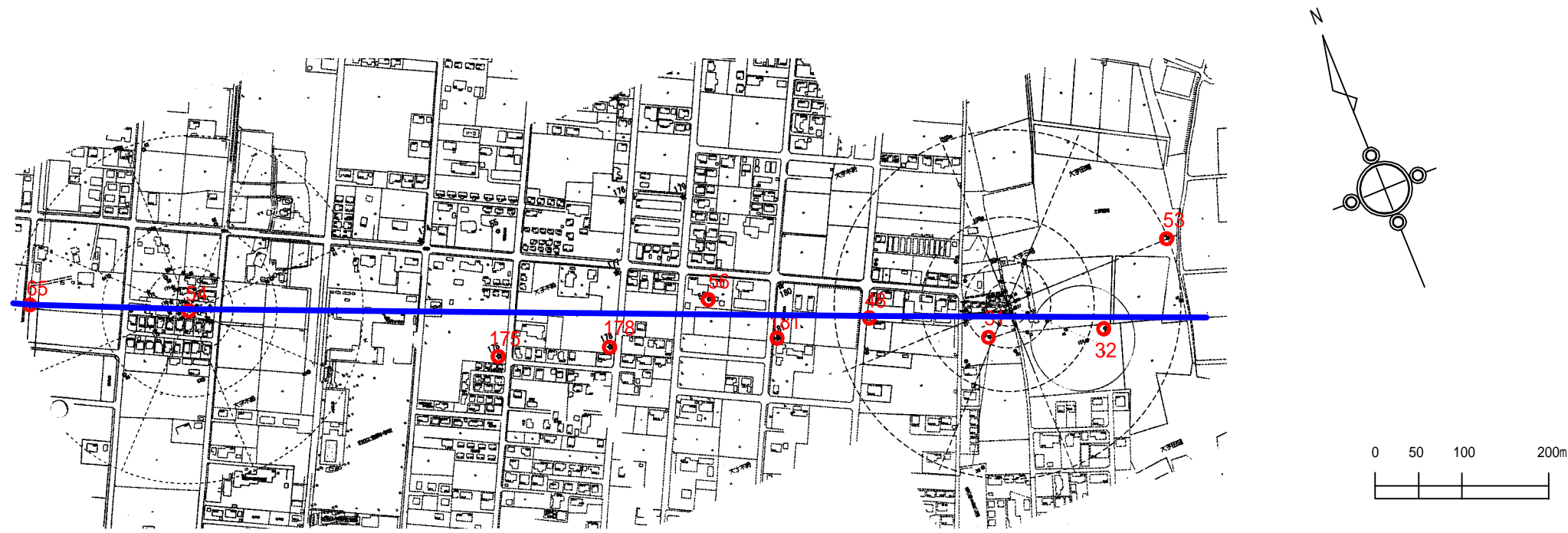
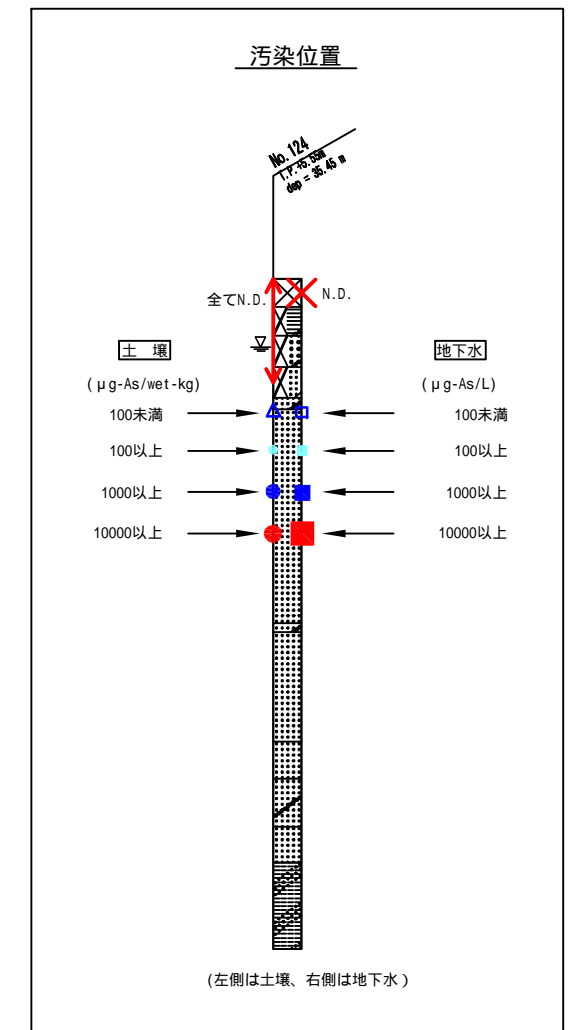
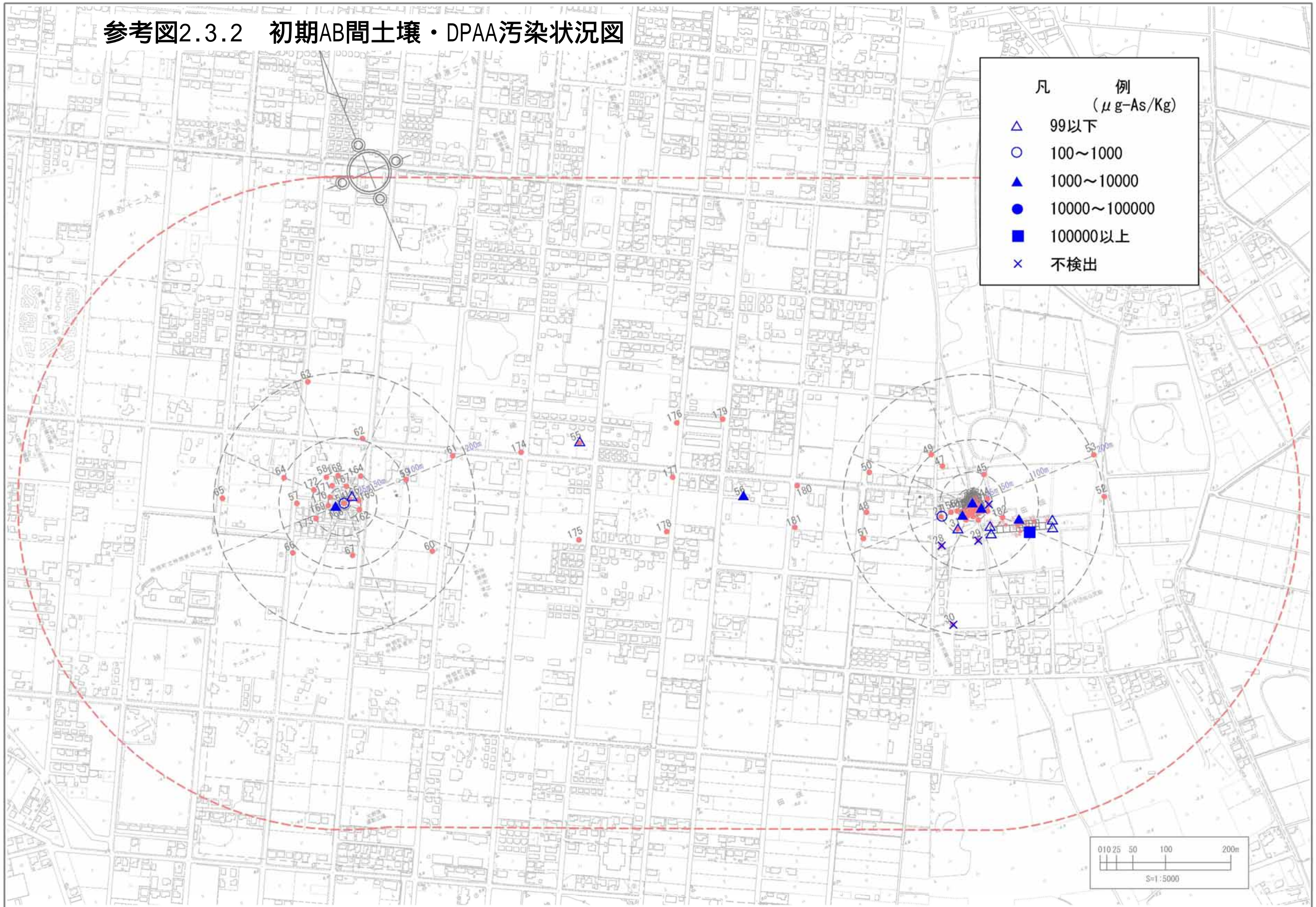


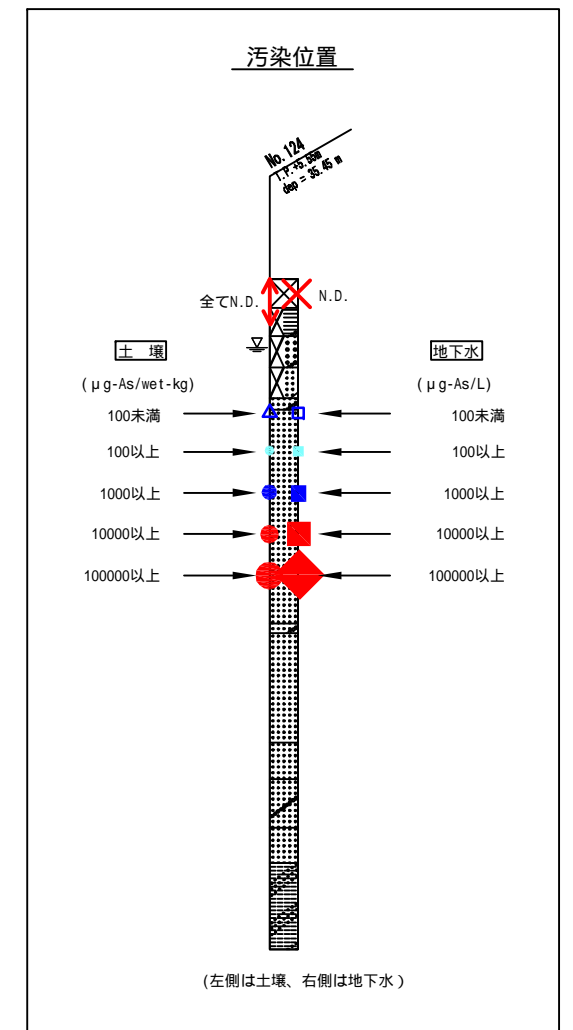
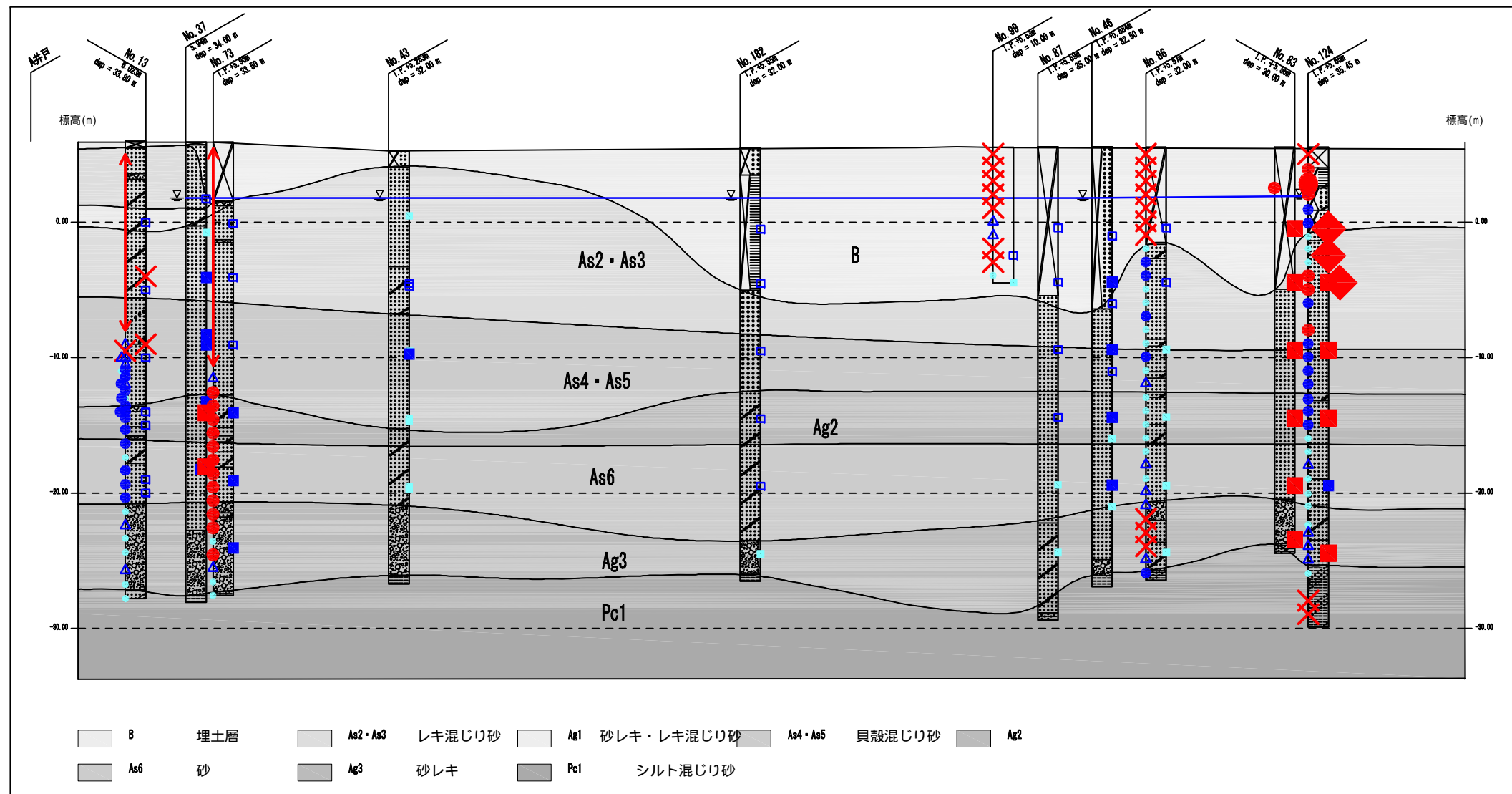
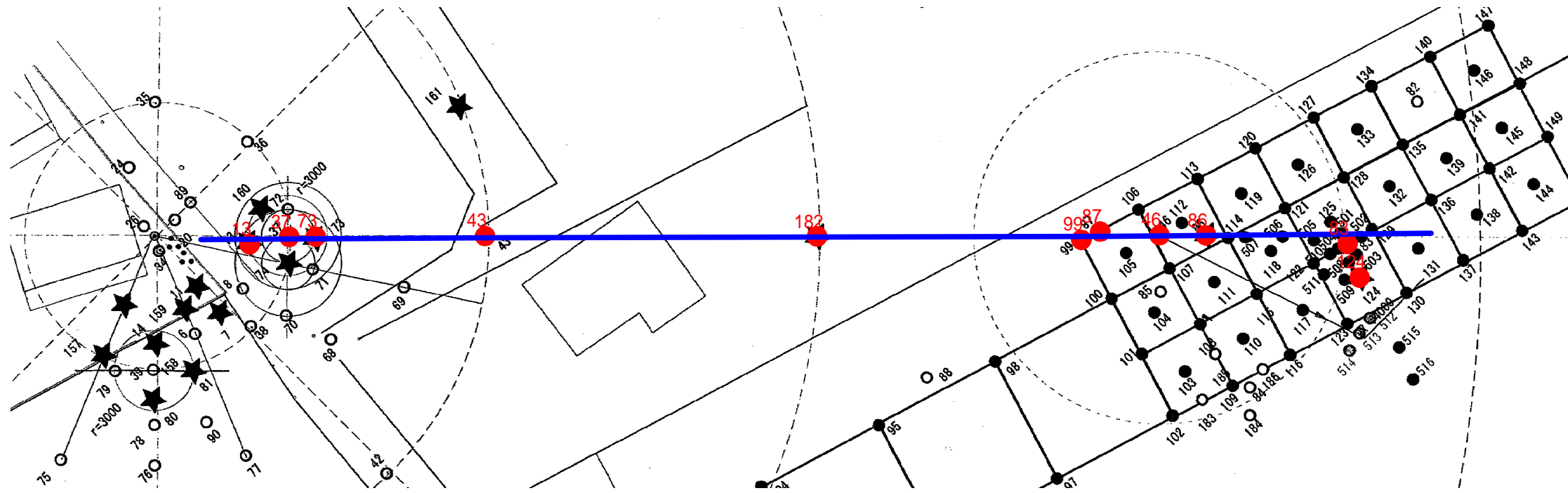
図5.1.2 A地区 - B地区間地質断面図



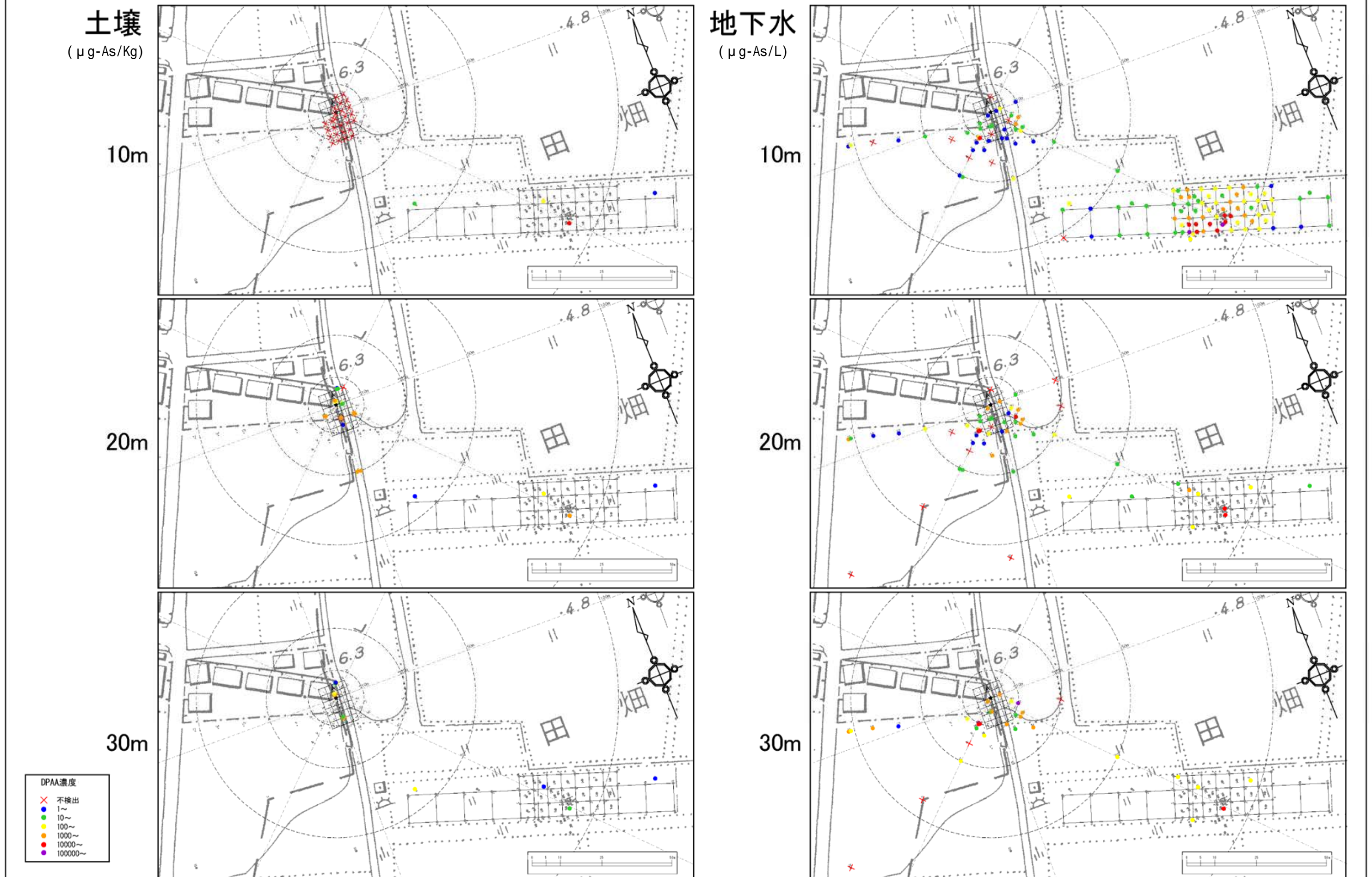
参考图2.3.2 初期AB間土壤・DPAA汚染状況図



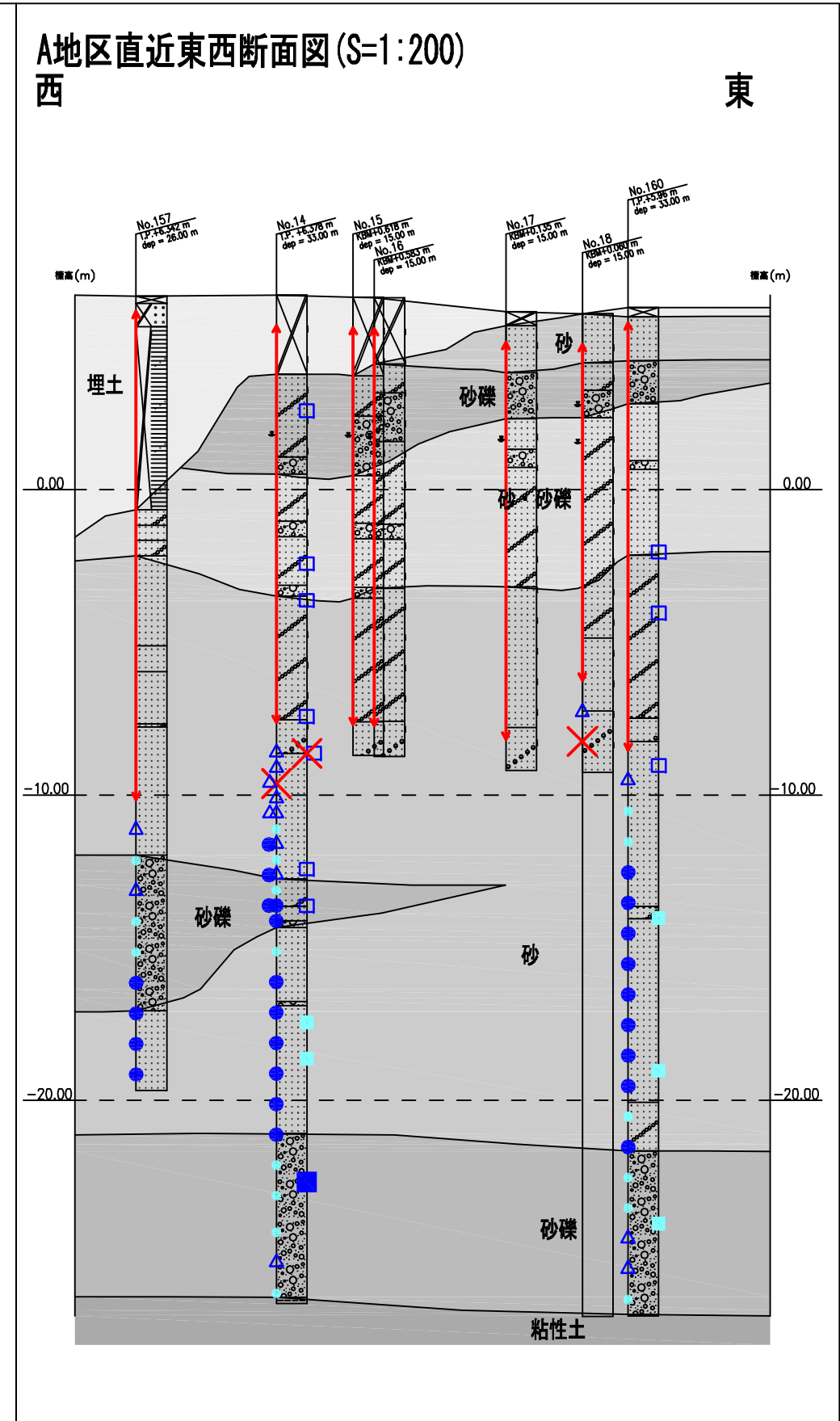
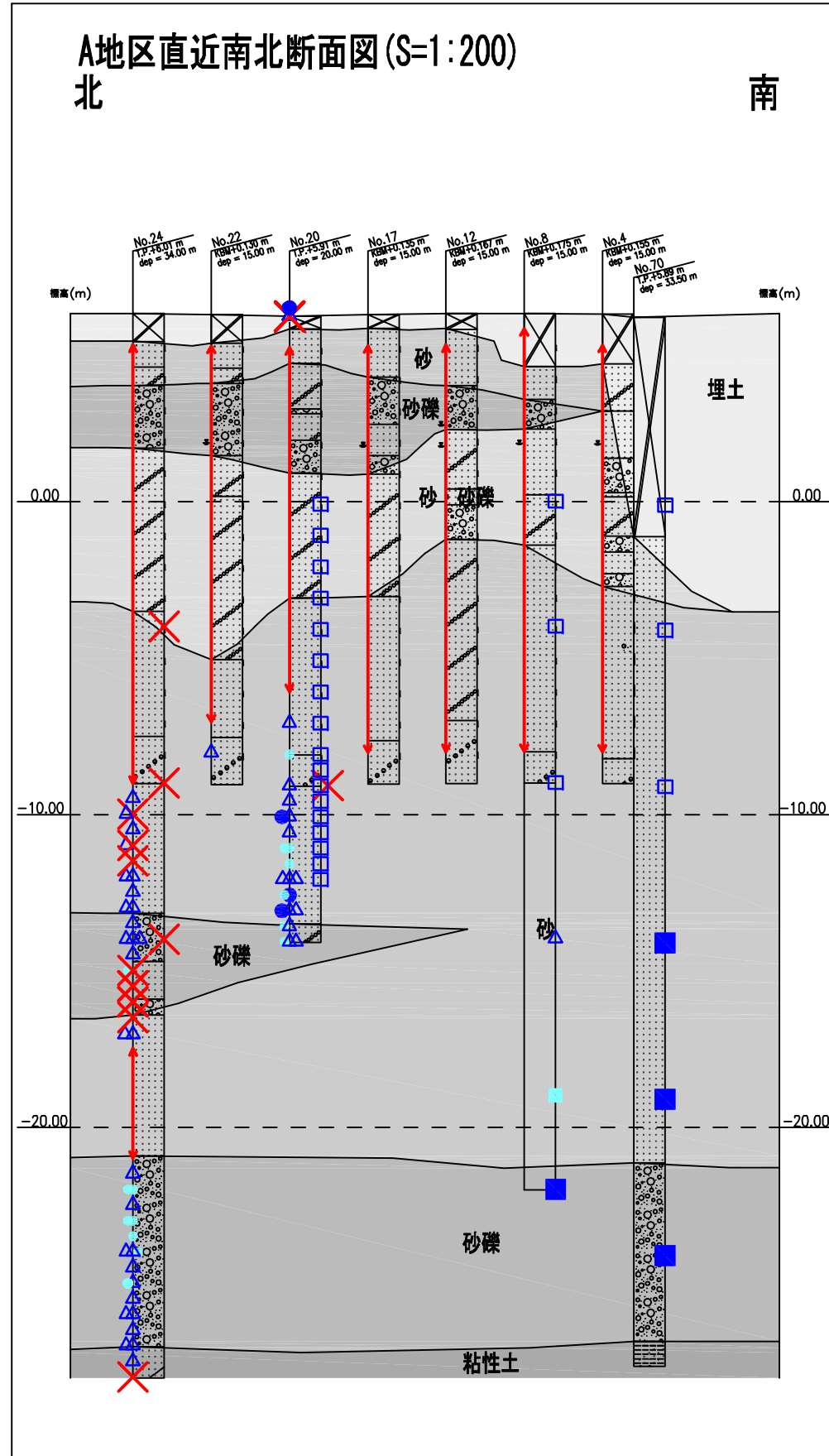
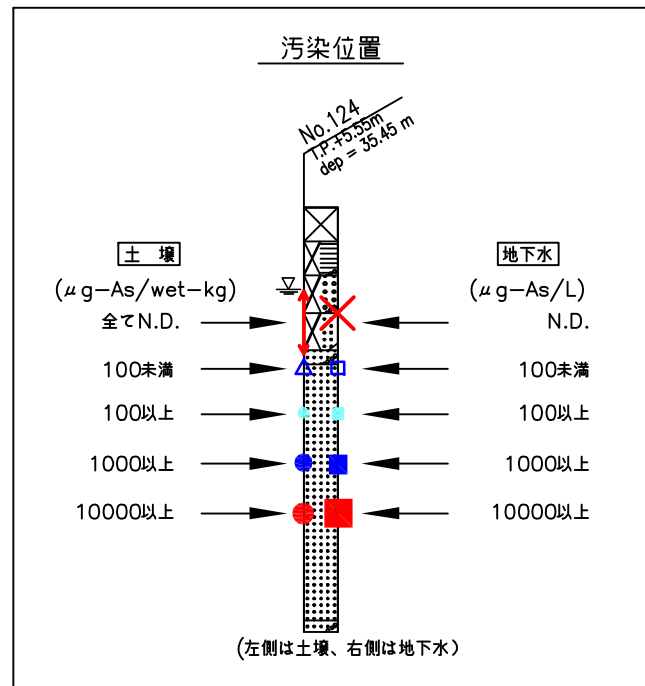
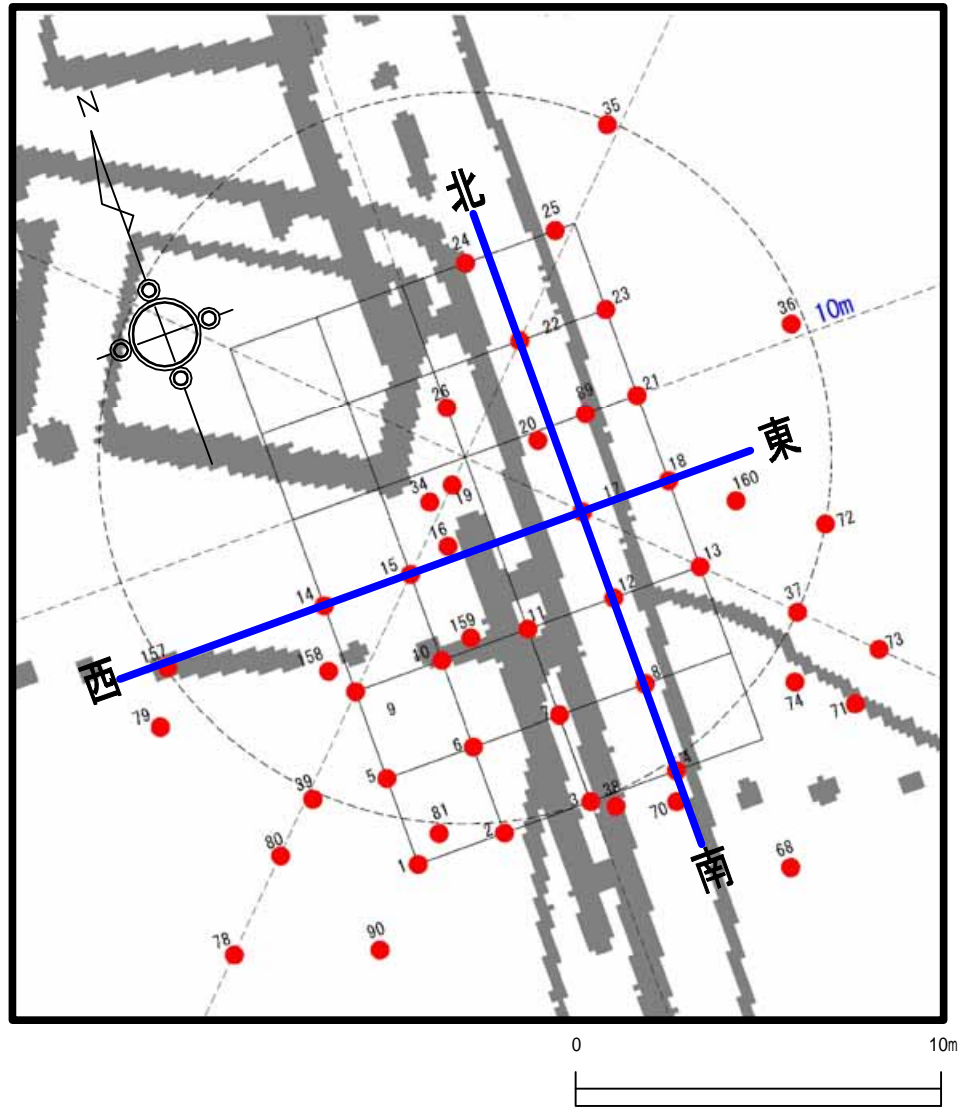
参考図2.3.3 初期A井戸周辺～掘削調査地点周辺間土壌・地下水DPAA汚染断面図



参考図2.3.4 初期A井戸周辺土壤・地下水汚染状況図

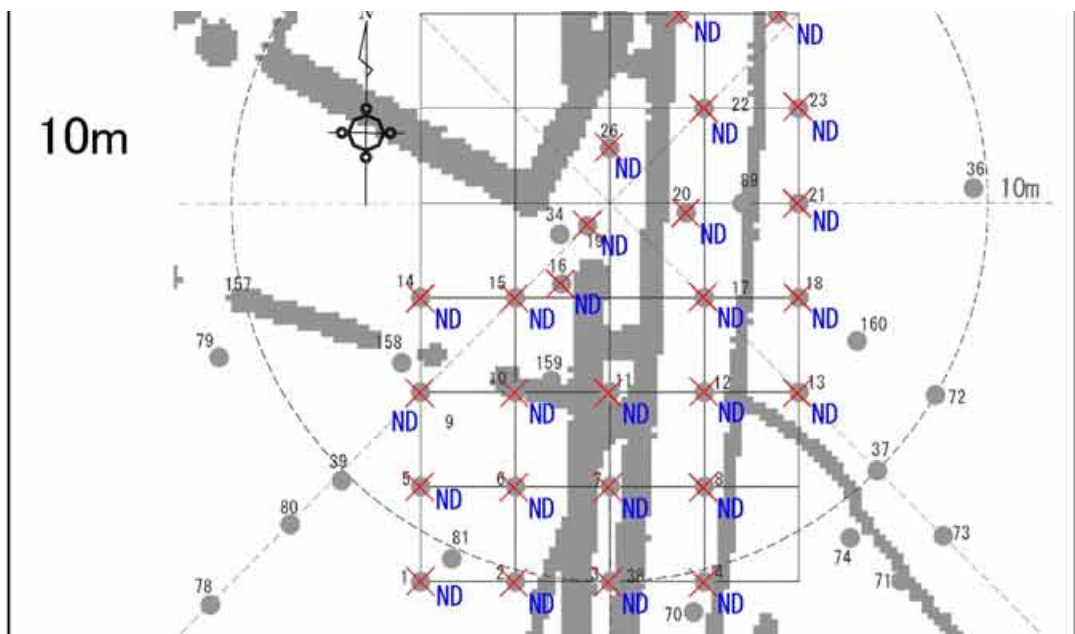


参考图2.3.5 初期A井戸直近土壤・地下水DPAA汚染状況断面図

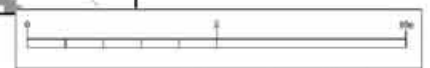
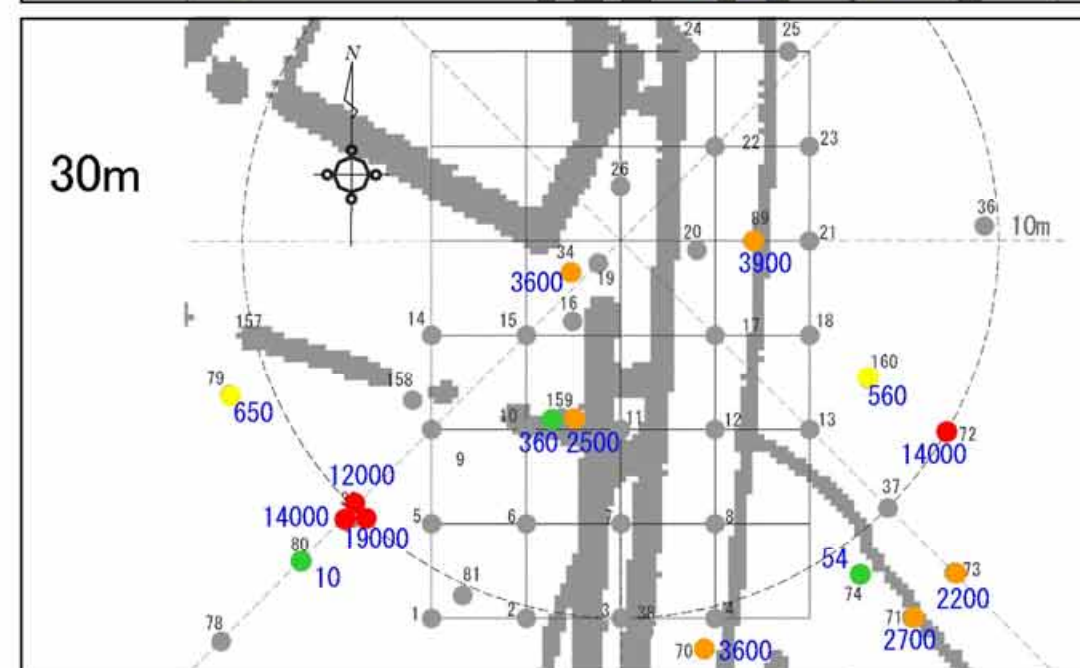
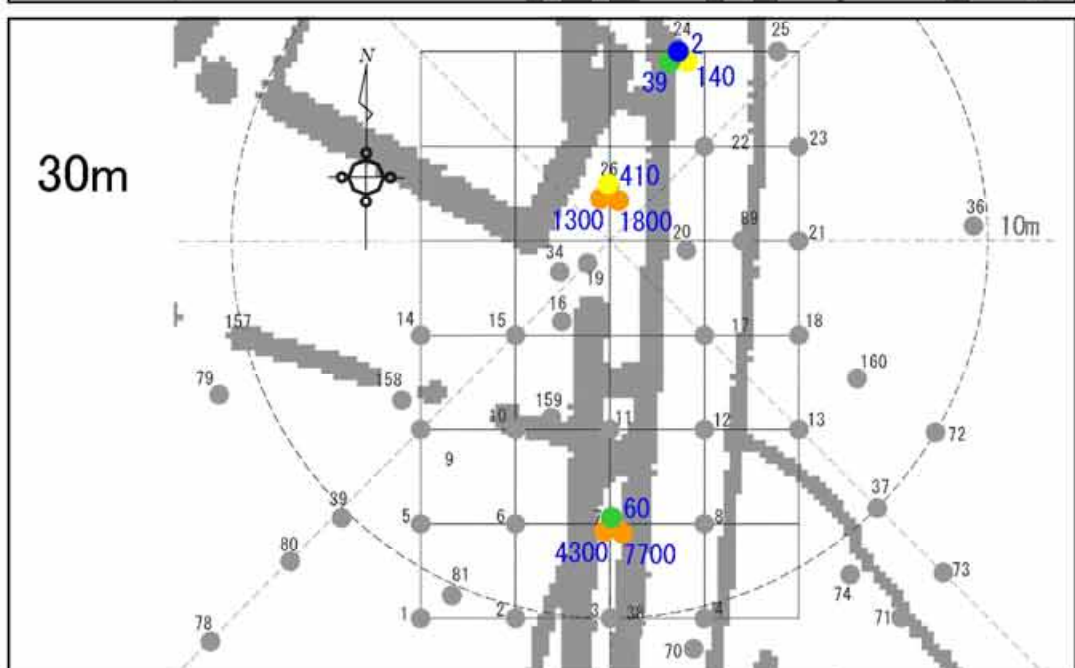
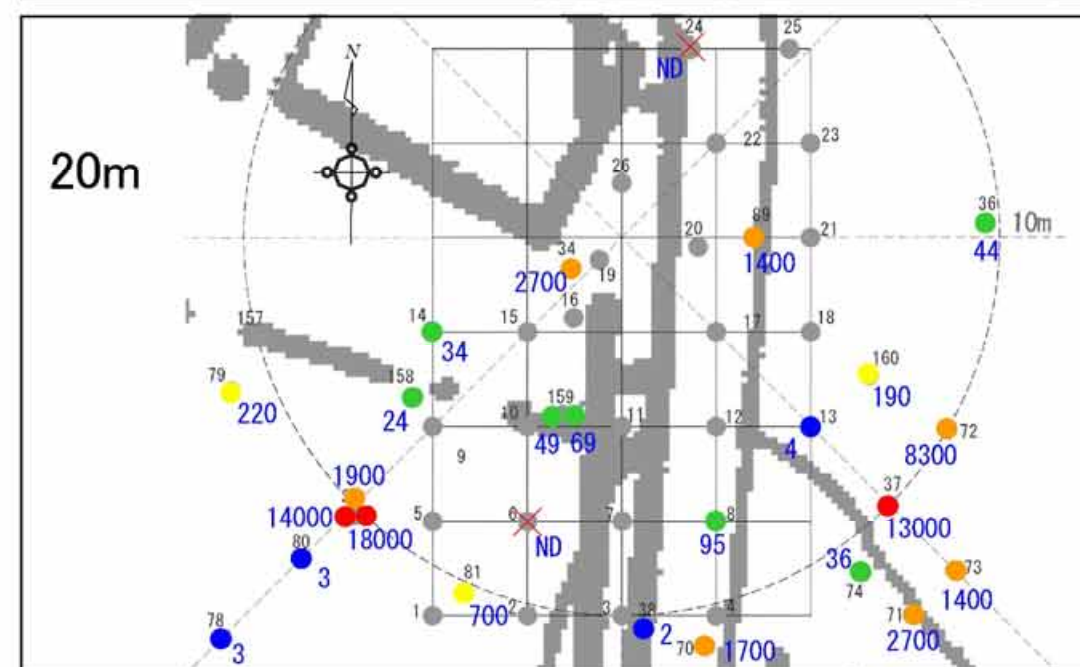
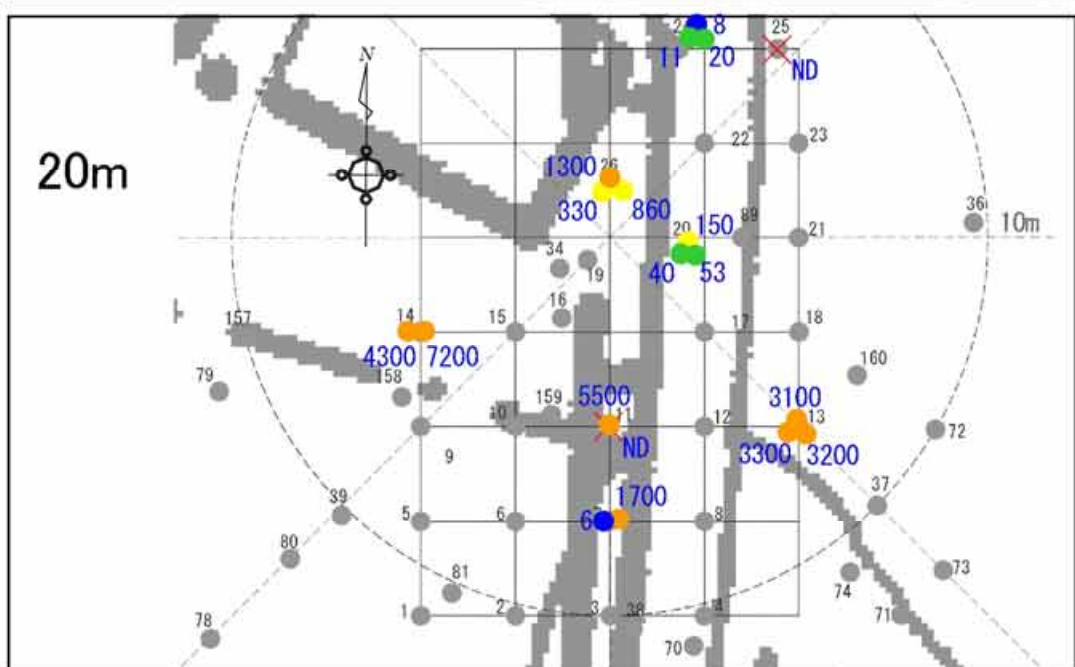
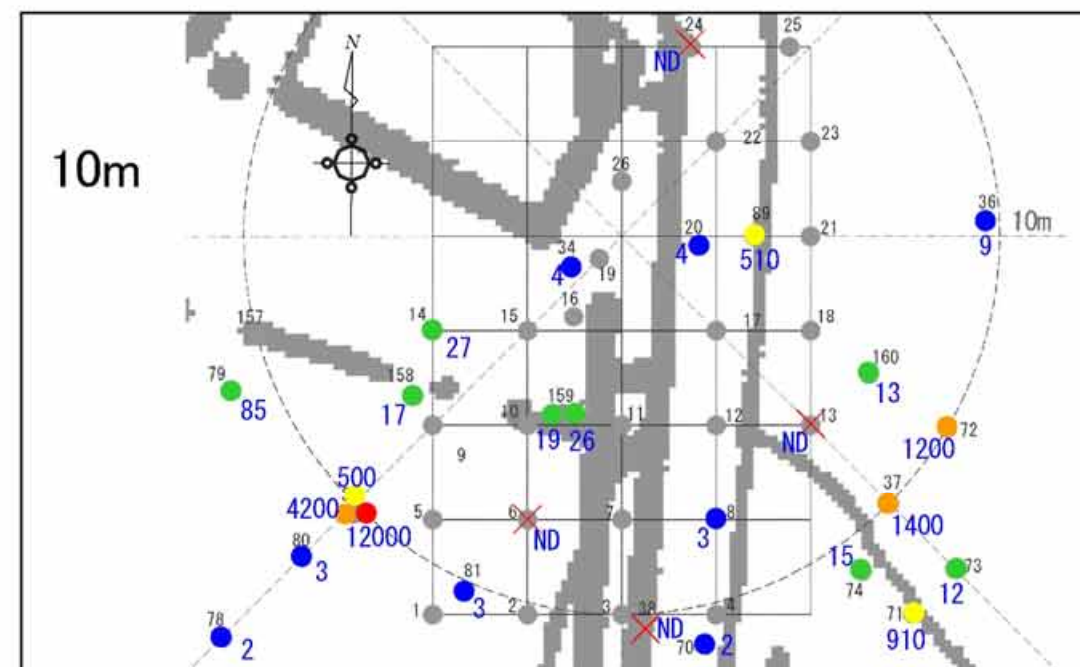


参考图2.3.6 初期A井戸直近土壤・地下水DPAA汚染状況図

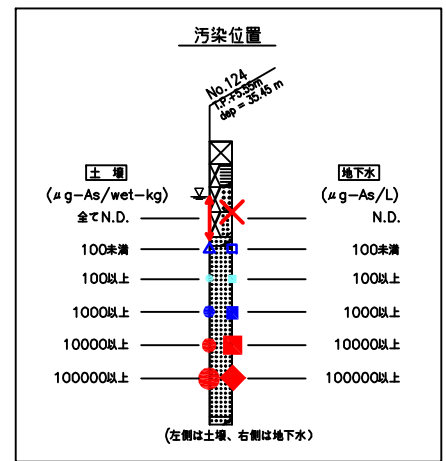
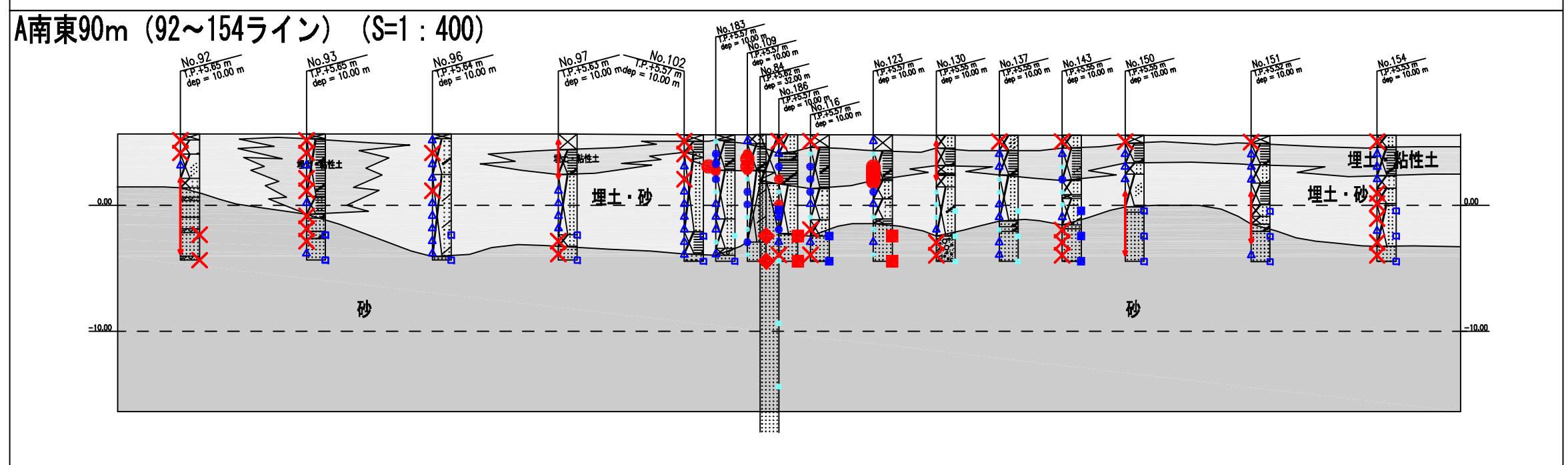
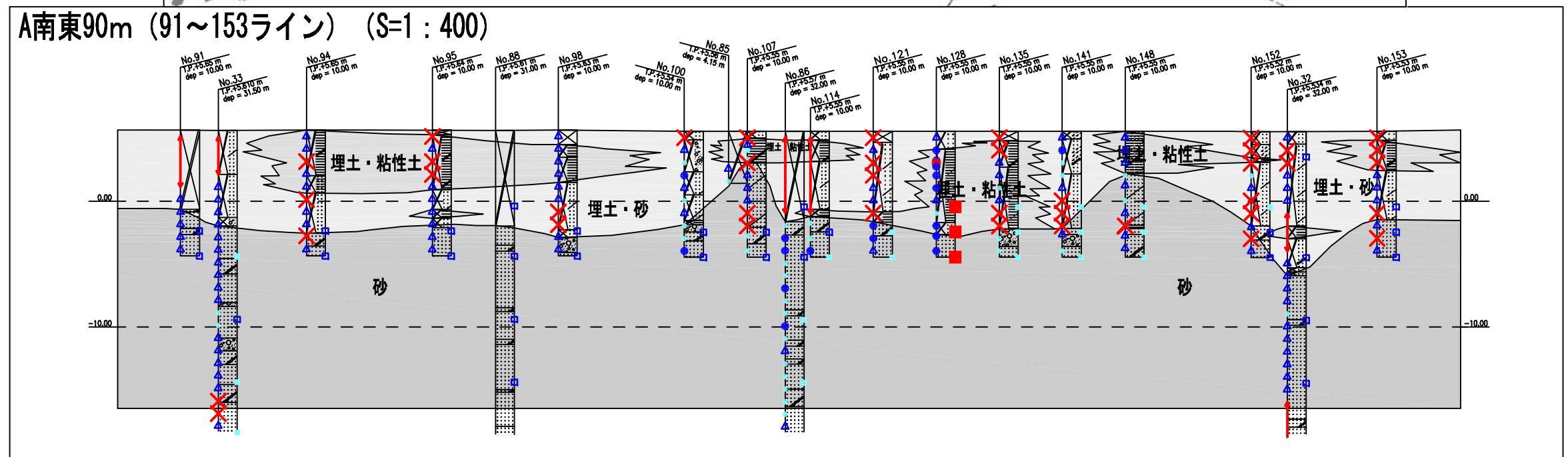
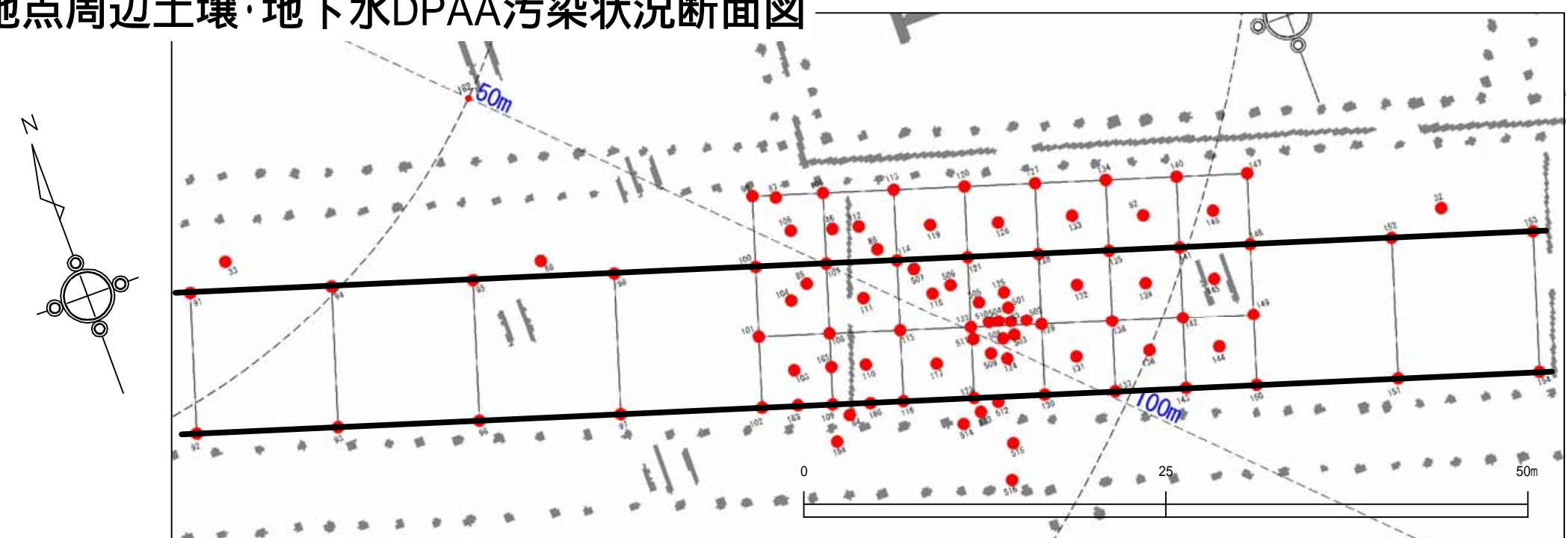
土壤
($\mu\text{g-As/Kg}$)



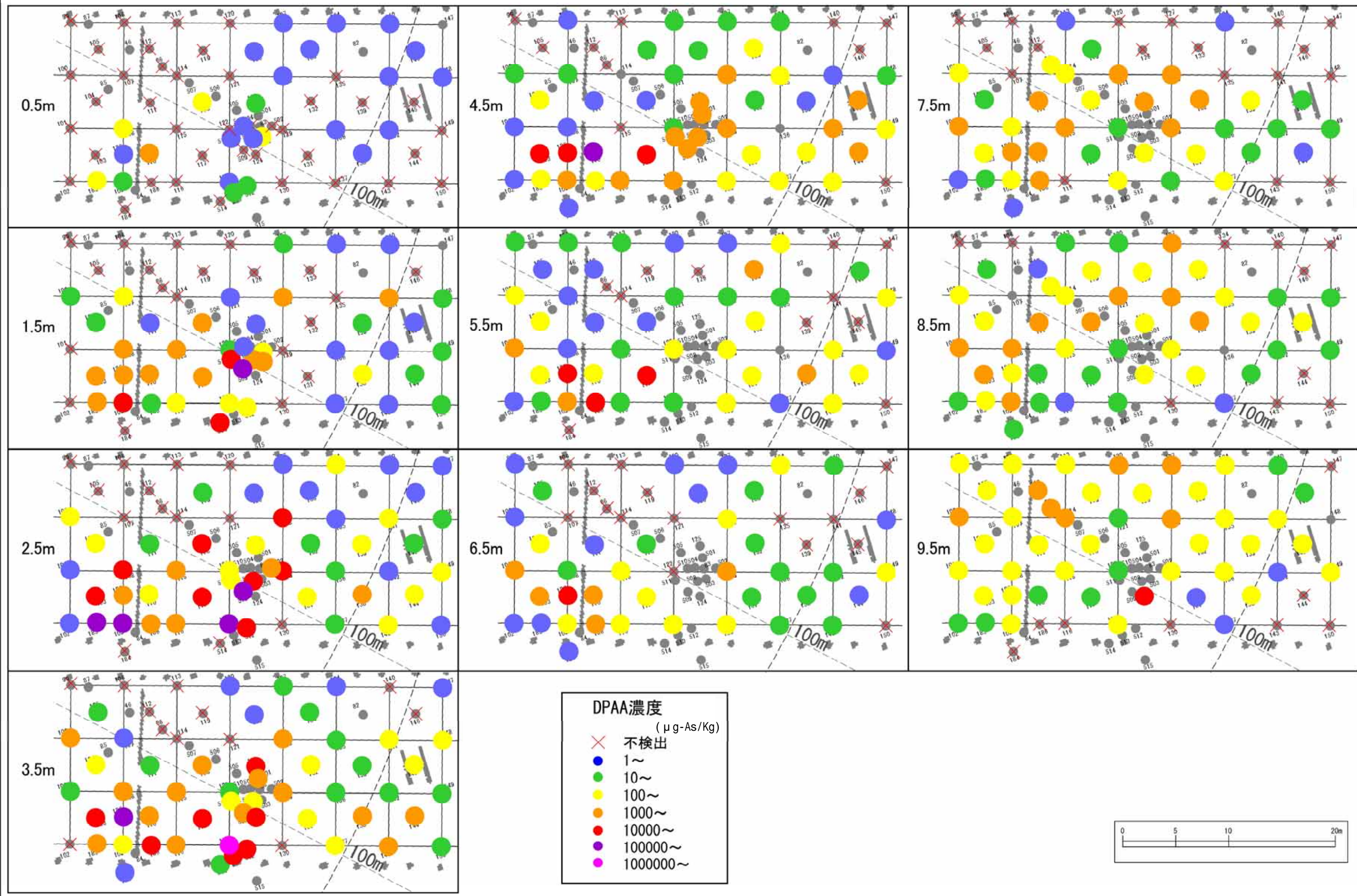
地下水
($\mu\text{g-As/L}$)



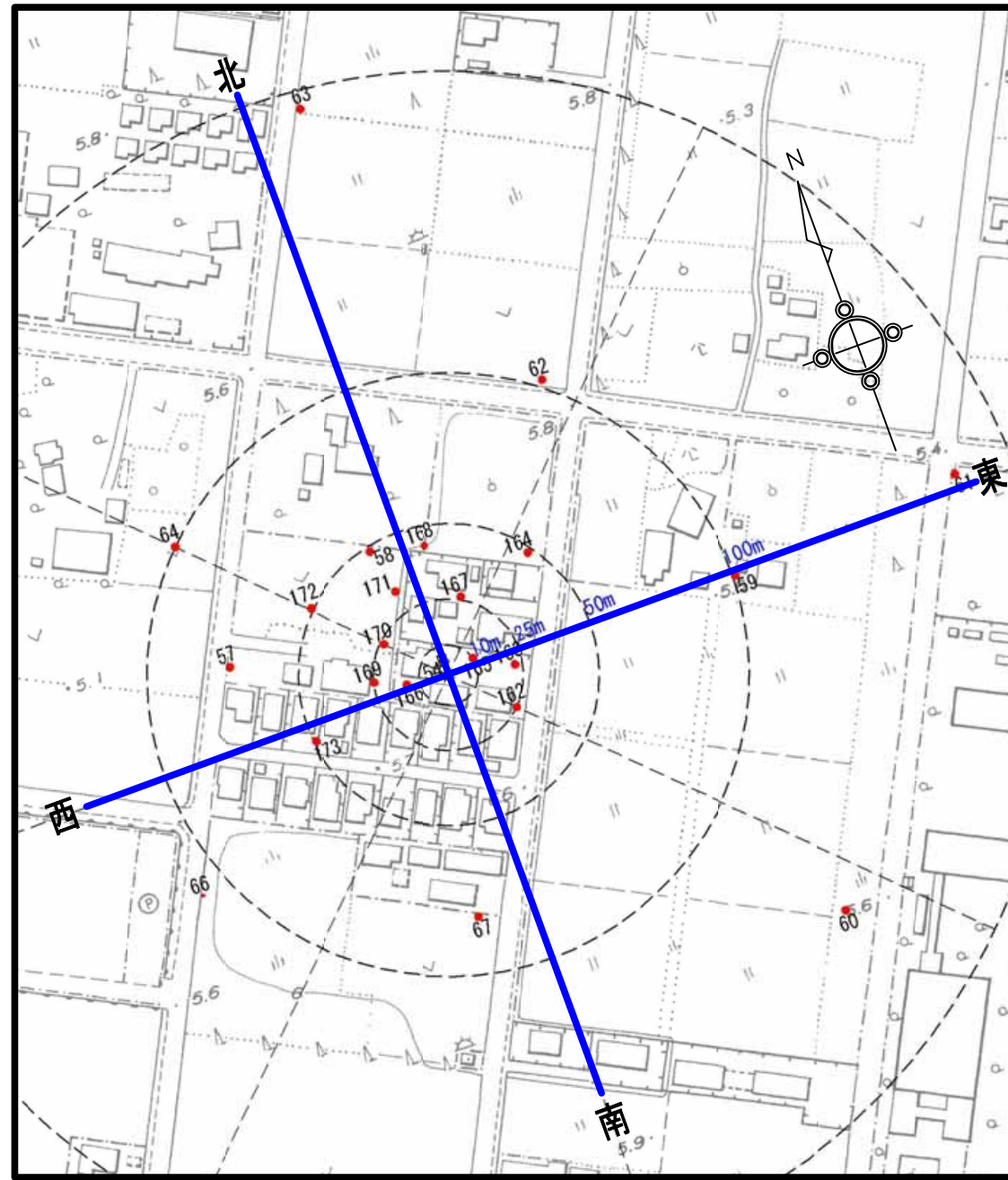
参考図2.3.7 初期掘削調査地点周辺土壌・地下水DPAA汚染状況断面図



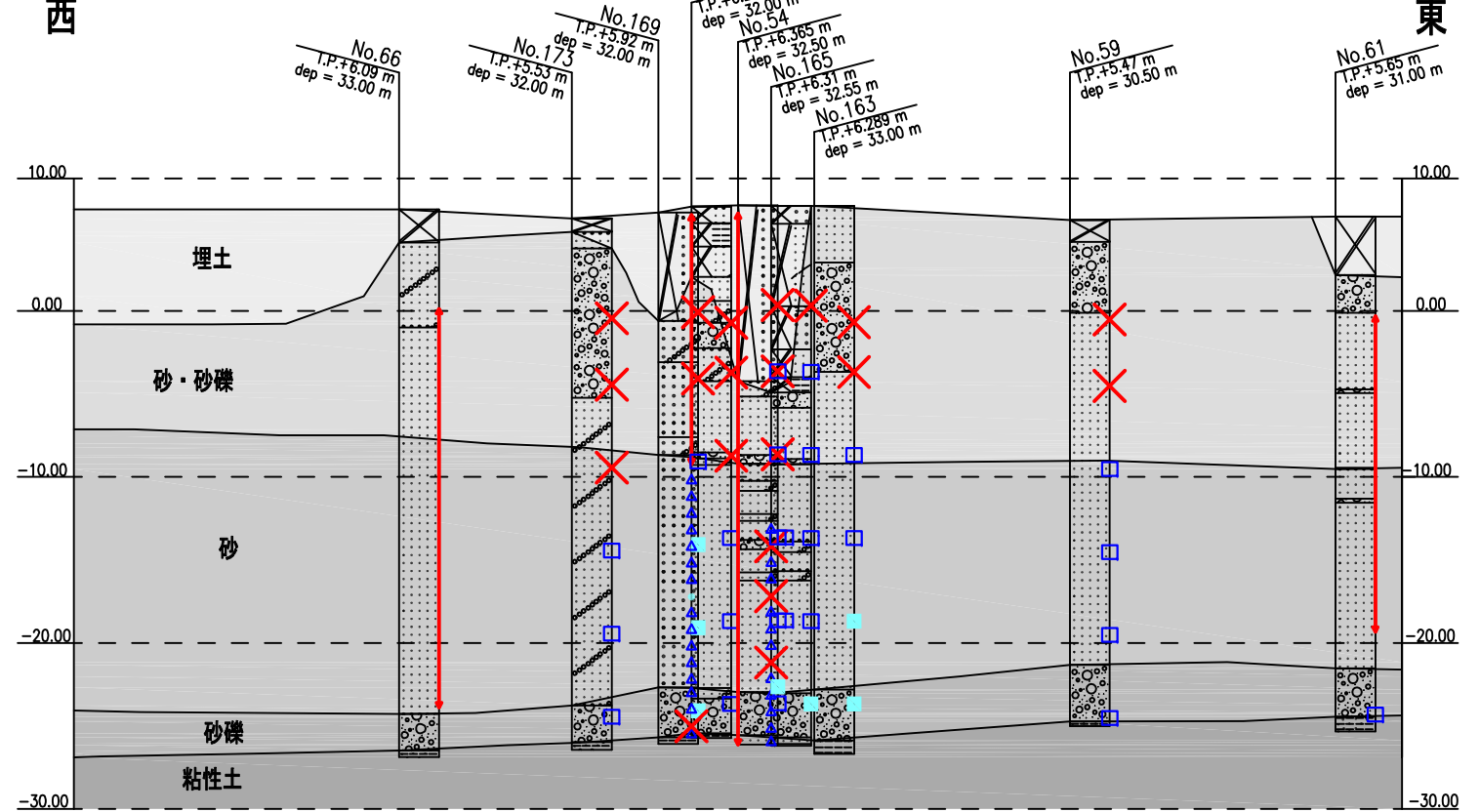
参考図2.3.9 初期掘削調査地点土壌DPAA汚染状況図(0.5mピッチスライス)



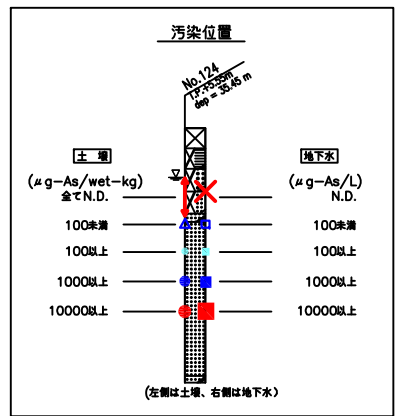
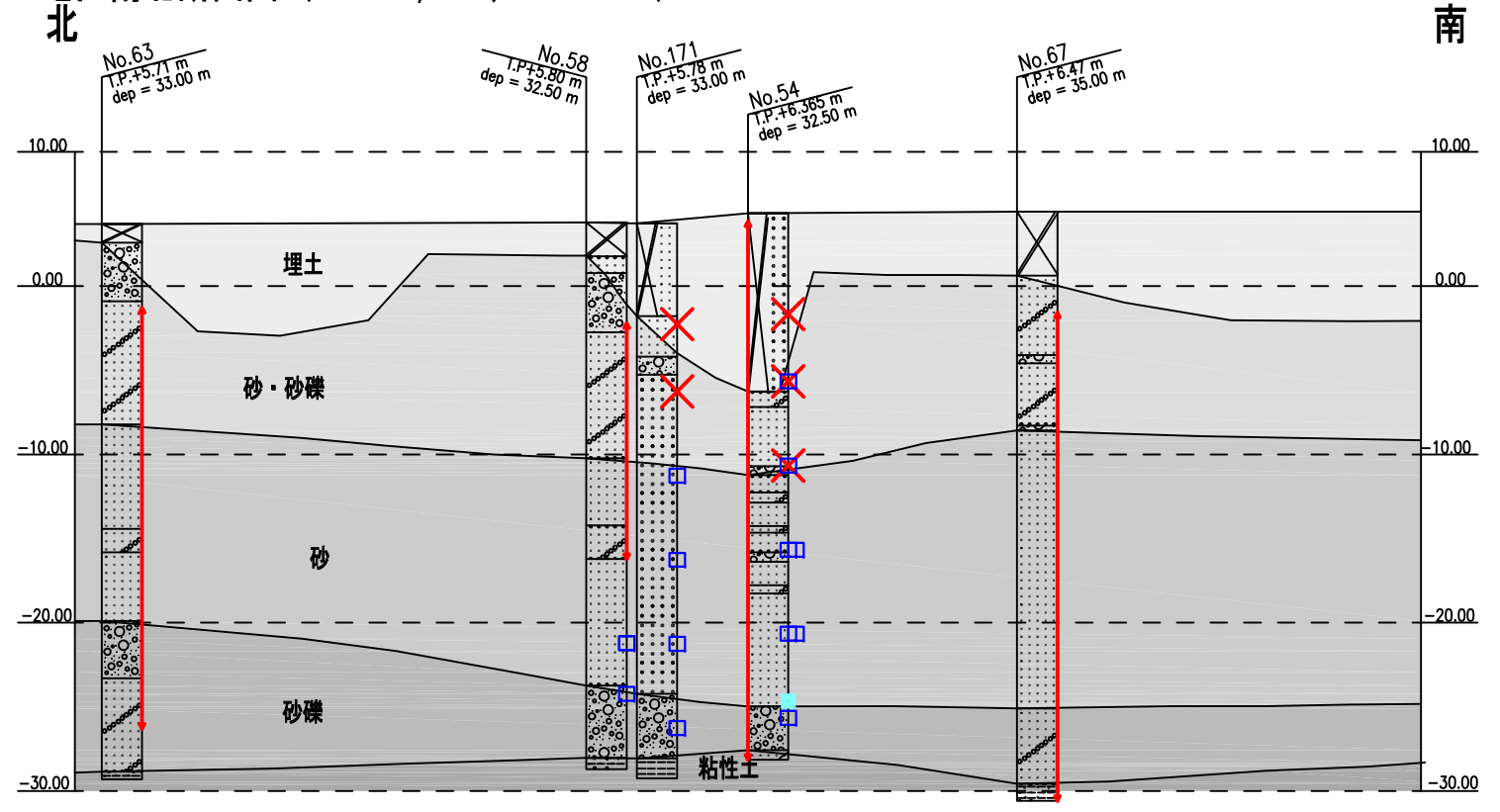
参考图2.3.10 初期B地区土壤・地下水DPAA污染状况断面图



B地区東西断面图 (SH=1:2,000、SV=1:400)

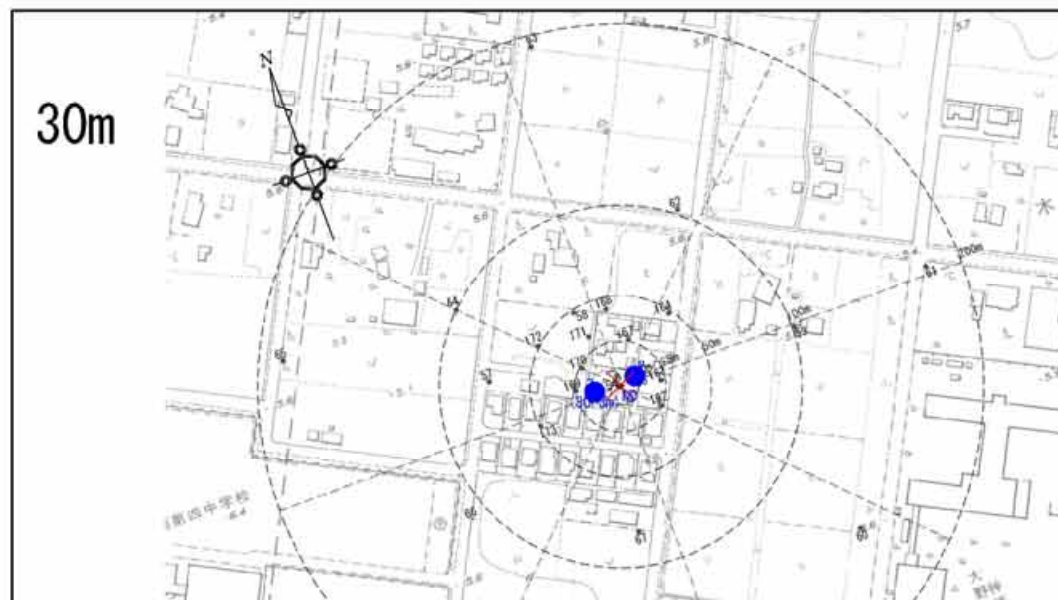
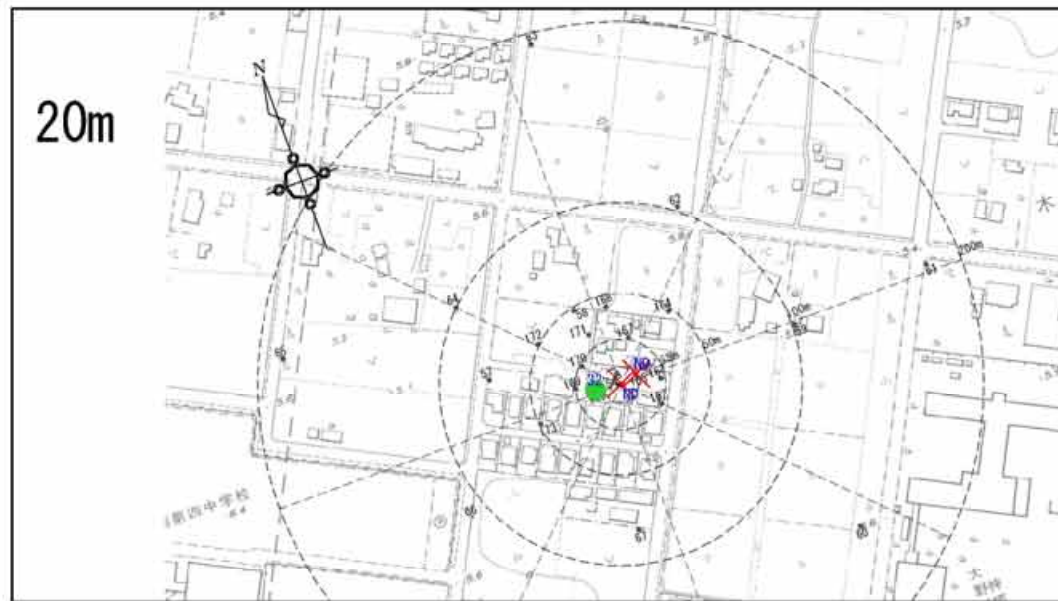
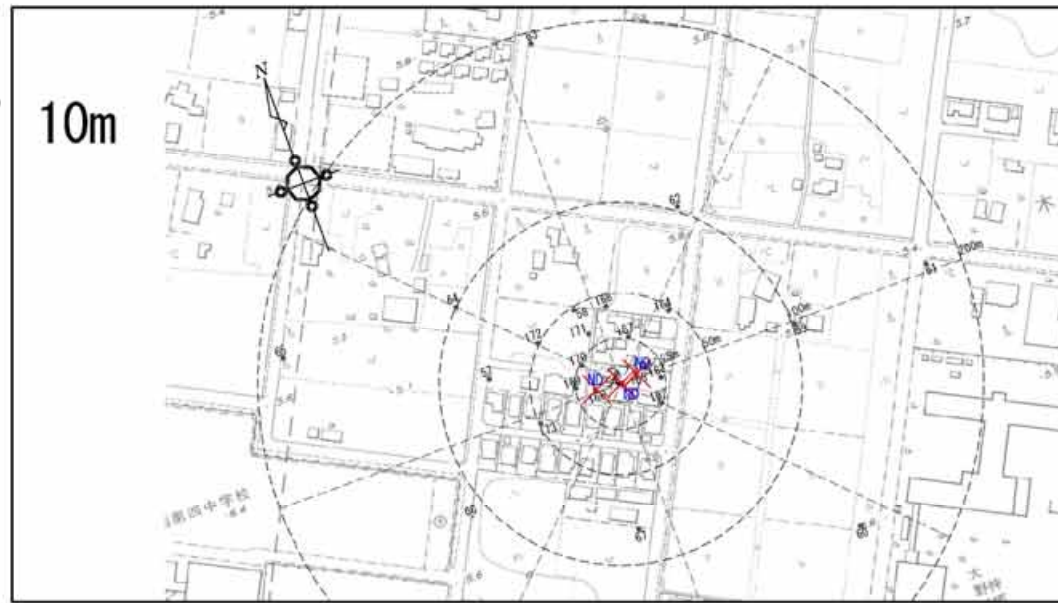


B地区南北断面图 (SH=1:2,000、SV=1:400)

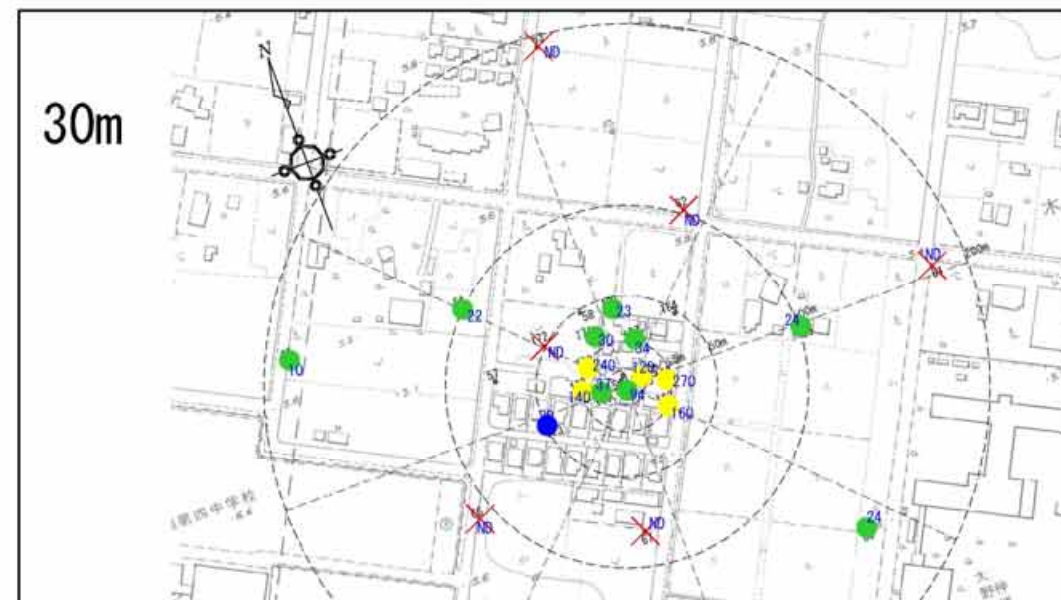
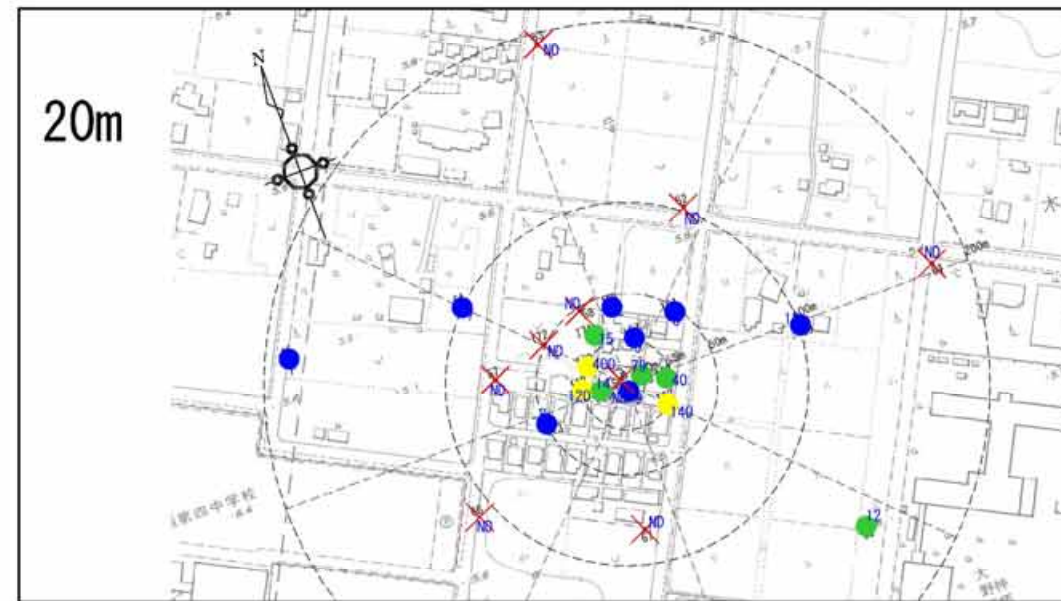
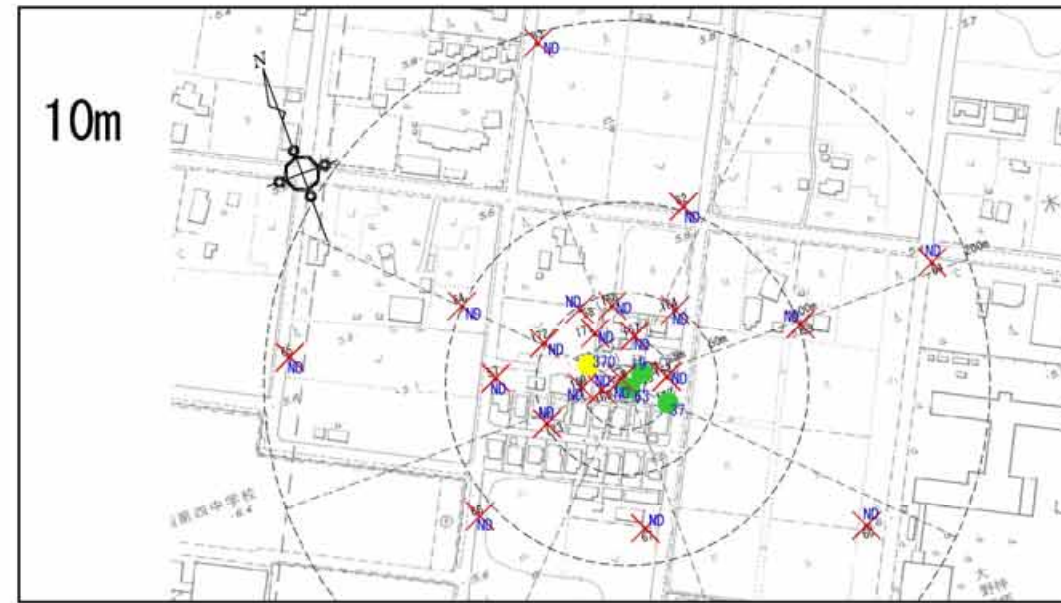


参考图2.3.11 初期B地区土壤・地下水DPAA汚染状況図

土壤
($\mu\text{g-As/Kg}$)



地下水
($\mu\text{g-As/L}$)



DPAA濃度

- × 不検出
- 1~
- 10~
- 100~
- 1000~
- 10000~
- 100000~

